

**RADISA PERI¹, ZORAN KARASTOJKOVIĆ²,
ZORICA KOVACEVIĆ³, DRAGAN GUSKOVIĆ⁴**

¹*PERI & PERI "Co. d.o.o., Požarevac, Srbija, ²Visoka tehnička škola strukovnih studija, Beograd, Srbija, ³Institut za ispitivanje materijala, Beograd, Srbija, ⁴Univerzitet u Beogradu, Tehnički fakultet u Boru, Bor, Srbija*

Naučni rad

UDC:620.187:669.215

doi:10.5937/ZasMat1503373P



Zastita Materijala 56 (3)
373 - 377 (2015)

Skenirajuća elektronska mikroskopija legure zlata Au585Ag90Cu264Zn61 za proizvodnju nakita

IZVOD

Legure zlata „585”, koje se koriste za proizvodnju nakita mogu da budu tro-, etvoro-, peto-, i više komponentne legure. Sve ove legure su u osnovi Au-Ag-Cu, sa konstantnom količinom zlata, shodno važe im zakonskim propisima, od 58,5 mas.%Au, dok ostale komponente zavise od drugih potreba: vrsto a, plastičnost, boja, specijalni efekti, itd. Ispitivanje je ranije sa legurama žute boje (Au-Ag-Cu-Zn) i bele boje (Au-Ag-Cu-Zn-Pd), shodno potrebama i zahtevima tržišta u okruženju, gde je i ranije ispitivanje, tj. u Republici Srbiji.

Starenjem kod legura plemenitih metala, posebno kod legura plemenitih metala sa komponentama koje kristališu po površi c.k. rešetki, u određenim uslovima predhodne obrade, kao i temperature i vremena starenja, dolazi do termodinamički stabilnog stanja legure, a pritom i do pojave fenomena povećanja tvrdoće i vrstoće proizvoda.

Ispitivanje strukture proizvoda, kao i promene nastale unutar strukture samog materijala obavlja se različitim mehaničkim i metalografskim metodama. Jedna od najboljih metoda sagledavanja promena u strukturi materijala je ispitivanje skenirajućim elektronskim mikroskopom.

U radu su prikazani rezultati ispitivanja legure Au585Ag90Cu264Zn61 – „žuto zlato”, skenirajućim elektronskim mikroskopom - SEM. Pored strukture materijala, bira se prikazana i hemijska mikroanaliza, dobijena pomoću energo-disperzionog spektroskopija – EDS, pomoću koje se može odrediti distribucija i raspored elemenata u jednom kristalnom zrnu.

Ključne riječi: legura zlata 585/1000, otvrđivanje starenjem, SEM, EDS, mikrostruktura, distribucija elemenata, kristalizacija;

1. UVOD

Metalografska analiza strukture metala i legura, uključujući i legure za proizvodnju nakita, obuhvata ispitivanje optičkim mikroskopom (optička mikroskopija) i elektronskim mikroskopom (Scanning Electron Microscopy i Transmission Electron Microscopy) [1].

Skenirajući elektronski mikroskop (Scanning Electron Microscopy), (SEM), predstavlja vrstu elektronskog mikroskopa pomoću koga je moguće dobiti visoko rezolutivnu sliku površine uzorka. Usled načina na koji se formira slika, SEM snimci imaju karakteristični, skoro trodimenzionalni izgled i daju mogućnost proučavanja strukture površine uzorka. Glavna osobina ovog mikroskopa je da se objekat može posmatrati direktno u reflektovanom snopu elektrona sa znatno boljom rezolucijom nego kod optičkog mikroskopa [2-4].

Autor za korespondenciju: Radiša Peri
E-mail: pericradisa@gmail.com

Rad primljen: 13. 03. 2015.

Rad prihvoren: 16. 05. 2015.

Rad je dostupan na sajtu: www.idk.org.rs/casopis

Ukoliko je mikroskop opremljen odgovarajućim detektorima za energo-disperzionu spektroskopiju (EDS) ili talasno disperzionu spektroskopiju (WDS), može se uraditi i istovremena hemijska mikroanaliza posmatranog dela površine uzorka. Odgovarajućim podešavanjem detektora, tako da on reaguje na određenu talasnu dužinu (određeno elementu), može se formirati slika i od karakterističnog X-zra enja, i ona ustvari predstavlja raspodelu odgovarajućeg elementa po ispitivanoj površini (EDS, EDX – Energy Dispersive Spectrometry X-ray analysis) [5].

Hemijska analiza i distribucija elemenata, urađena je za legure žutog zlata fino 585 sastava Au585Ag90Cu264Zn61 [6,7], primenom energo-disperzionog spektrometrijske analize (EDS), tj. mikroanaliza na posmatranoj površini poprečnog preseka ispitnih uzoraka legure.

Priprema uzorka legure za ispitivanja SEM-om, uključena je prema potrebama procesa proizvodnje uz usaglašavanje sa potrebama elektronske mikroskopije. Izrada legure obavljena je u induktionskoj peći u zaštitnoj atmosferi azota, od istog zlata i odgovarajućeg predlegure. Izlivanje u kokilu, kao polazni proizvod za hladno valjanje, izvršeno je

u keramičkoj posudi plamenom dobijenim propan-butanim (ku nim) gasom i komprimovanim vazduhom. Za izradu zaštitne pokrivke te nog metalata, korišćena je smeša borne kiseline (H_2BO_3) i natrijumtetaborata – boraksa ($Na_2B_4O_7$). Hladno valjanje obavljeno je na duo-valja kom stanu završnog stepena deformacije od $\delta = 66,6\%$, pri čemu je dobijena završna dimenzija od $h = 0,5$ mm. Nakon obrade deformacijom uzorci su žareni na temperaturi rekristalizacije od $680^{\circ}C$ u vremenu od 0,5h. Završna termička obrada, nakon rekristalizacionog žarenja, je starenje, tj. žarenje na temperaturi od $200^{\circ}C$ u vremenu od 30 min uz hlađenje na vazduhu. Ovakvom terminu kompletovanju došlo je od povećanja tvrdoće od 31,6% [6].

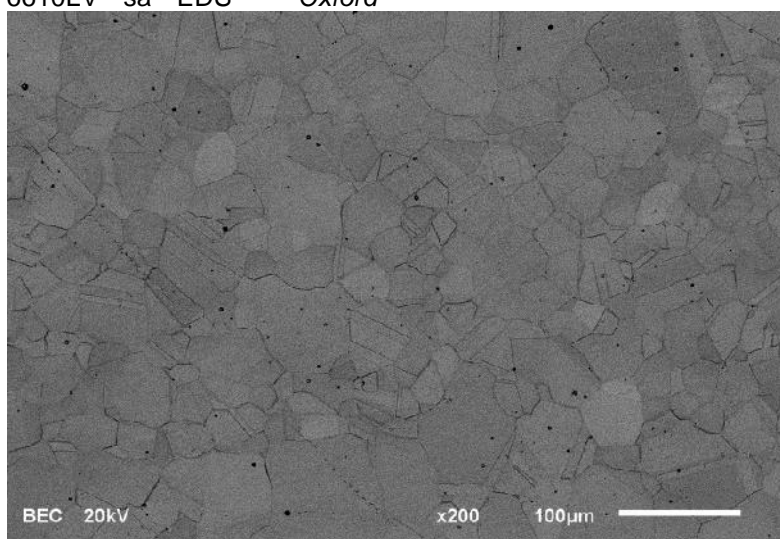
Analiza mikrostrukture skenirajućim elektronskim mikroskopom – SEM, radi se na uređaju tipa JEOL JSM 6610LV sa EDS – Oxford

instruments energy dispersive spectrometer X MAX SDD, za hemijsku analizu.

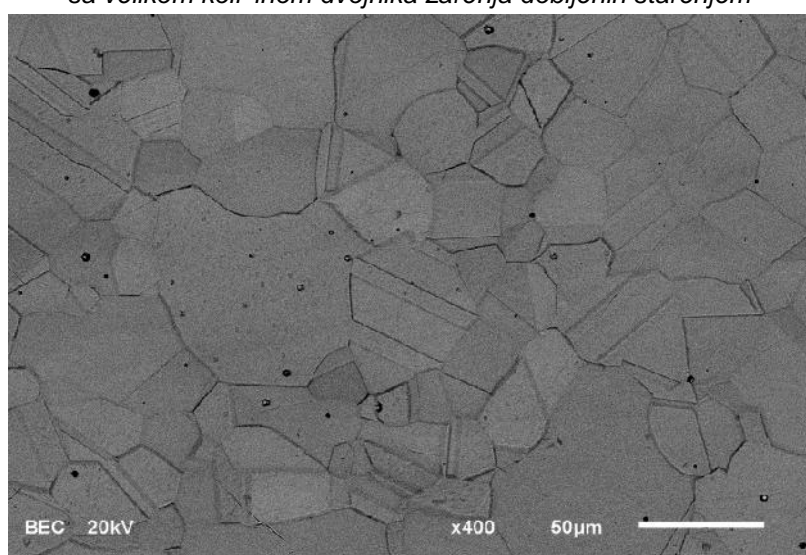
SEM snimanje uzorka uranije u visokom vakumu, od oko $30 \mu Pa$, (10^{-8} Pa), u bek sketer modu (BEC), kao i u modu sekundarnih elektrona (SEI). Efektivni presečnik snopa pri EDS analizi, iznosio je $1 \mu m$, a vreme prikupljanja oko 30 sec.

2. REZULTATI MERENJA

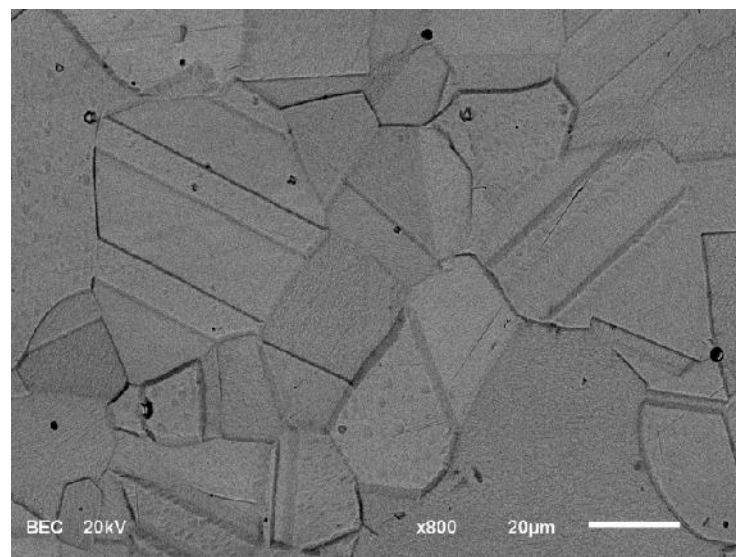
U cilju dobijanja što boljeg uvida u nastale mikrostrukturne promene i njihove pouzdane identifikacije, SEM ispitivanja se rade u nekoliko uvečanja sa reprezentativnim uzorcima. Mikrostrukturalna analiza je uranija na nagrizanoj, predhodno visoko poliranoj površini poprečnog preseka ispitivanih uzoraka.



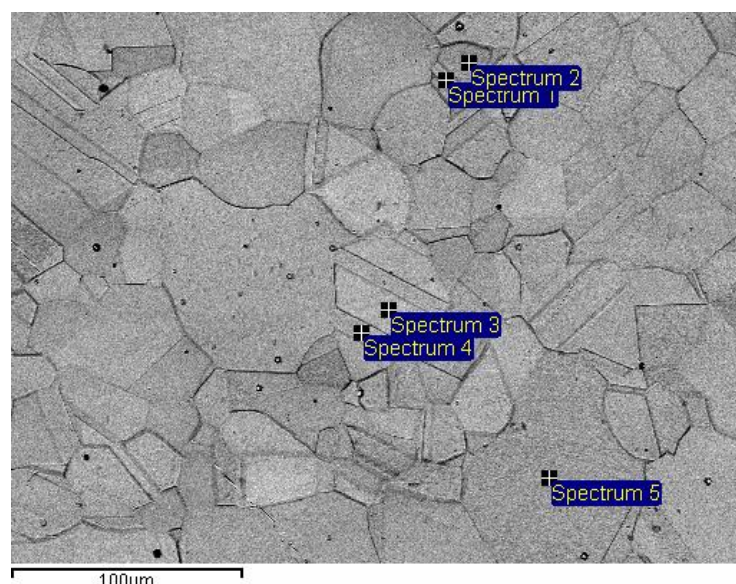
Slika 1 - Izgled snimka uranije u elektronskom mikroskopu SEM, sa uvečanjem x200; Elementi obrade: $t=200^{\circ}C$, $\delta = 30$ min, $169.80HV0.25$. Struktura ravnoosnih kristala, dobijenih rekristalizacionim žarenjem, sa velikom količinom dvojnika dobijenih starenjem



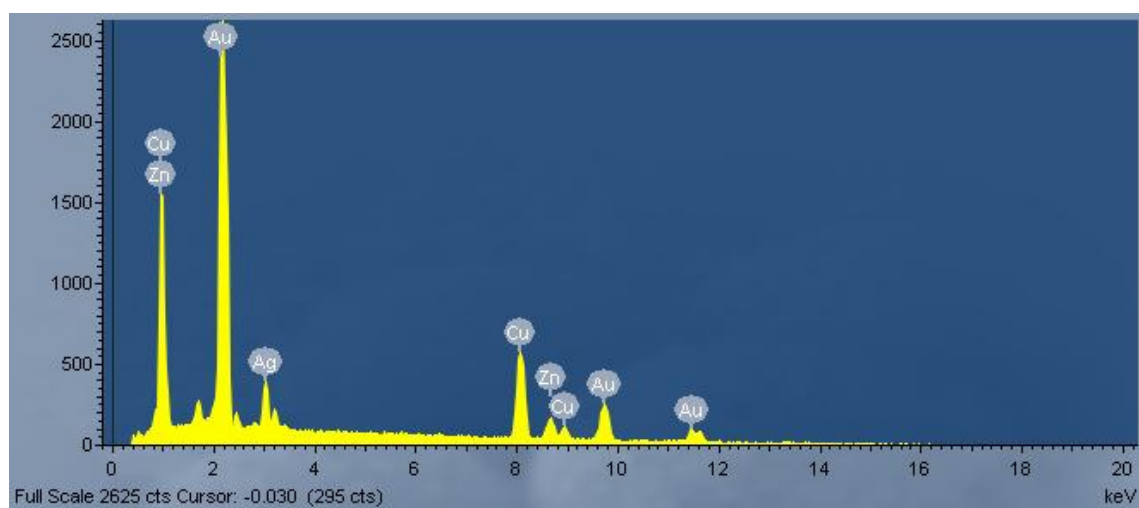
Slika 2 - Izgled snimka SEM sa slike 1, sa uvečanjem x400. Isto je pojava dvojnika žarenja u strukturi legure



Slika 3 - Izgled dela slike 1, snimak SEM-a, sa uvećanjem x800. Izrazito istaknuti dvojnici žarenja



Slika 4 - Prikaz ispitnih tačaka za određivanje hemijskog sastava sa slike 2. Uvećanje x400



Slika 5 - Rezultati EDS uzorka sa slike 4

Tabela 1 - Sadržaj komponenata legure u pojedinim tačkama, prema slici 5.

Spektar	Cu, wt%	Zn, wt%	Ag, wt%	Au, wt%	Total, wt%
Spectrum 1	23.91	6.75	8.27	61.07	100.00
Spectrum 2	24.77	6.88	7.11	61.23	100.00
Spectrum 3	23.94	7.19	7.94	60.94	100.00
Spectrum 4	24.50	6.71	7.92	60.87	100.00
Spectrum 5	24.09	6.49	8.26	61.16	100.00
Srednjavrednost	24.24	6.80	7.90	61.06	100.00
Std. devijacija	0.38	0.26	0.47	0.15	-
Max.	24.77	7.19	8.27	61.23	-
Min.	23.91	6.49	7.11	60.87	-

U cilju što boljeg sagledavanja i proučavanja mikrostrukture ispitivanog materijala, korišćena su različita uvečanja, i to: x200, x400 i x800, a što je prikazano na slikama od 1 do 4. Na slici 5 prikazan je EDS snimak hemijske analize ispitivanog materijala a u tabeli 1 prikazan je sadržaj komponenti legura u pojedinim tačkama uzorka.

3. DISKUSIJA

Na slikama 1 do 5, uključujući i tabelu 1, prikazani su rezultati ispitivanja na skenirajućem elektronskom mikroskopu – SEM (*Scanning Electron Microscopy*), za ispitivanu leguru 585, za proizvodnju nakita sastava Au585Ag90Cu264Zn61, tzv. „žuto zlato“. Na slikama od 1 do 3, uočava se izrazita mikrostruktura dvojnika žarenja, koja nastaje žarenjem na temperaturi starenja, ispod temperature rekristalizacije, a koja je posebno izražena kod legura koje u svom sastavu sadrže elemente koji kristališu po površini kubnih kristalnih rešetki [8]. Na slici 4, na uređaju mikroskopa EPMA (*Electron Probe Micro Analyzer*), korišćenjem X-zraka, ustanovljeno je ispitivanje hemijskog sastava i to je prikazano u tabeli 1. Ispitivanje je urađeno u sredini zrna, primeni je korišćeno pet mernih mesta, a potom je određivana srednja vrednost, koja je upisivana u tabelu. Distribucija elemenata pokazuje, kao što je i prikazano u tabeli 1, da je u središtu, kako zrna, tako i dvojnika, povećana količina zlata i cinka, dok je količina bakra i srebra smanjena, i najverovatnije se distribuiraju po granicama zrna. Prilikom starenja ove legure, AuCu I stvara dvojnice i istiskuje srebro prema granici zrna, što se u leguri i po granicama zrna javlja kao precipitat. Povećani sadržaj cinka, može se tumačiti da zamenjuje bakar i pakuje se umesto bakra na površini kristalne rešetke AuCu I, a zlato, kao najplemenitiji metal, ostaje u središtu zrna. EDS dijagram, slika 5, prikazuje raspored elemenata u kristalnoj strukturi ispitivanih uzoraka, pri čemu se

dokazuje da je u strukturi dominantno zlato, pa potom bakar, srebro i cink.

Povećanje tvrdosti, koje je nastalo prilikom žarenja uzorka na temperaturi od 200°C, na temperaturi koja je daleko ispod temperature rekristalizacije ove legure, odnosno oko 680°C [9], izazvano je stvaranjem dvojnika žarenja AuCu I, kao i stvaranja taloga po granicama zrna.

4. ZAKLJUČAK

Na osnovu svega izloženog, proučavanja rezultata elektronske mikroskopije i rezultata hemijske analize, mogu se izvesti sledeći zaključci:

1. Prikaz strukture površine metala i legura, elektronskom mikroskopijom daje donekle trodimenzionalni izgled površine, te samim time doprinosi većoj mogućnosti izučavanja strukture površine uzorka. Glavna osobina ovog mikroskopa je da se uzorak može posmatrati direktno u reflektovanom snopu elektrona sa znatno boljom rezolucijom nego kod običnog optičkog mikroskopa.

2. Povećana količina dvojnika žarenja legure, nastala kao rezultat starenja na temperaturi od 200°C i vremenu od 0.5 sata i u hladnom stanju, koja je mahom proizvedena od komponenata koji kristališu po površinski centriranoj kubnoj rešetki, izuzev cinka, koji kristališe po g.p.h. rešetki, ali je kompatibilan sa atomima bakra i zlata, dovodi do povećanja tvrdosti legure. Povećanje tvrdosti nastaje i stvaranjem površinski centrirane rešetke AuCu I, jer dolazi do naprezanja kristalne rešetke. Stvaranje precipitata po granicama zrna, takođe, dovodi do povećanja tvrdosti legure.

3. Elektronska mikroskopija nam omogućava da se jasno sagleda pojava dvojnika žarenja, dok EDS i EDX omogućavaju sagledavanje distribucije elemenata, kako u središtu zrna, tako i po granicama zrna, a samim time i promene koje se dešavaju u samom materijalu.

5. LITERATURA

- [1] C.T.K.-H.Stadtländer (2007) Scaning Electron Microscopy and Transmision Electron Microscopy of Mollicutes: Challenges and Opportunities, Clemson University, Clemson, SC 29634, USA, Formatex, pp. 122-131
- [2] A.Bogner, P.H.Jouneau, G.Thollet, D.Basset, C.Gauthier (2007) A history of scanning electron microscopy developments: Towards „wet-STEM“ imaging, Micron, 38, 390-401
- [3] D.McMullan (1995) Scanning Electron Microscopy 1928-1965, Scanning, 17, 175-185
- [4] D.E.Newbury, D.B.Williams (2000) The electron microscope: the materials characterization tool of the millennium, Acta materialia, 48, 323-346
- [5] A.Werner, B.Skilberd, H.Fjeld, Scaning Electron Microscopy – SEM, MENA3100, Predavanje: Power Point, www.uio.no/studier/emner/.../24february09.ppt, (pristup, 22.04. 2014.g.)
- [6] R.Peri (2014) Ispitivanje oja avanja sterenjem legura sistema Au-Ag-Cu za proizvodnju nakita, doktorska disertacija, Univerzitet u Beogradu, Tehni ki fakultet Bor
- [7] R.Peri , Z.Karatojkovi , Z.Kova evi , D.Guskovi (2013) The Age-Hardening Meshanism od Au585Ag90Cu264Zn61 Gold Alloy for Jewelry Production, Journal of Engineering & Processing Management, ISSN 1840-4774, 5(1), pp.62-79
- [8] B.Perovi (1984) Fizi ka metalurgija, Univerzitet „Veljko Vlahovi “ u Titogradu, Univerzitetski udžbenik, str. 4-417
- [9] P.Gertik (1997) Plemeniti metali, Pavle Gertik, Beograd, str. 13-106

ABSTRACT

SCANING ELECTRON MICROSCOPY OF Au585Ag90Cu264Zn61 GOLD ALLOY FOR JEWEL PRODUCTION

Gold alloys "585" that are used for production of jewelry can be three-, four-, five- and more component alloys. All these alloys are with Au-Ag-Cu base, with constant amount of gold, according to applicable legislation, of 58.5 mass.% Au, while the other components depend on other needs: hardness, plasticity, color, special effects, etc. The investigation was conducted with alloys of yellow color (Au-Ag-Cu-Zn) and of white color (Au-Ag-Cu-Zn-Pd), according to needs and demands of market environment, where the investigation took place, and that is in The Republic of Serbia.

With age-hardening in alloys of noble metals, especially in alloys of noble metals with components that crystallize with f.c.c. lattice in certain conditions of previous treatment, as well as temperature and period of ageing, a thermodynamic stable state of alloy appears, and also a phenomena of hardness and strength of product.

The examination of structure of the product, as well as of changes inside the structure of material itself is performed by different mechanic and metallographic methods. One of better methods of overview of changes inside the material structure is examination by scanning electronic microscope – SEM. Beside the structure of material, chemical analysis obtained using the device – detector for energy dispersive spectroscopy – EDS, by which distribution and disposition of elements in one chrismal grain can be determined.

Keywords: gold alloy 585/1000, age-hardening, SEM, EDS, microstructure, distribution of elements, crystallization.

Scientific paper

Paper received: 13. 03. 2015.

Paper accepted: 16. 05. 2015.

Paper is available on the website: www.idk.org.rs/casopis